

Методи дослідження

УДК 616.15-073

O.B. Гуцул, В.В. Бужедиган, М.В. Шаплавський, П.М. Григоришин

ВИМІРЮВАЛЬНИЙ КОМПЛЕКС ДЛЯ ВИЗНАЧЕННЯ В'ЯЗКОСТІ БІОЛОГІЧНИХ РІДИН

Кафедра біологічної фізики та медичної інформатики (зав. – проф. М. В. Шаплавський)

Буковинського державного медичного університету, м. Чернівці

Резюме. Теоретично та експериментально обґрунтовано новий метод автоматизованого вимірювання в'язкості біологічних рідин (крові), що ґрунтуються на реєстрації показників добробутності в біоінертному капілярі.

Ключові слова: метод аналізу, в'язкість, кров.

Вступ. Нині технічні рішення методів визначення в'язкості ґрунтуються на загальноприйнятих уявленнях її молекулярних механізмів [1]. Усі такі методи, що стосуються електролітів, аргументовані ньютонівськими властивостями рідин. Тобто, умовою визначення в'язкості є зчленення рідини зі стінками вимірювальної комірки чи каналом течії приладу.

Слід зауважити, що в медицині термін в'язкість декларується як інтегральний показник концентрації складових біологічної рідини, наприклад, крові [2].

Однак ще в першій половині минулого сторіччя було відкрито σ -ефект, що свідчить про відсутність третьої крові в капілярах судинного русла. Таке русло контактує з кров'ю на площині 2 000 m^2 і має довжину 100 000 км, де 40 000 000 000 капілярів, що мають на вході діаметр удвічі менший від еритроцитів, складають, власне, всю судинну систему [3]. У цьому контексті, моделювання чи розробка адекватних фізичних методів аналізу гемодинаміки лише на основі класичних законів гідродинаміки є нескоректні [4].

В основі технічного рішення нового методу поставлена умова – здійснити вимірювання в'язкості та електропровідності моделюючи судинне русло, тобто, звести до мінімуму взаємодію капіляра з кров'ю. Для цього ми використали гідрофобний матеріал – тсфлон. Подібні за властивостями речовини вважають біоінертними [3].

Щоб виключити інтенсивні фізичні дії штучного середовища на систему крові, що є дисипативною структурою [4], вимірювання в'язкості проведено шляхом реєстрації електромагнітних втрат цієї тканини в стаціонарному та динамічному станах у капілярному соленоїді, що індуктивно зв'язаний із коливальним контуром. Іншими словами, тут реєстрація динаміки добробутності є індикатором швидкості потоку крові чи рівня її іонізації поза дій електростатичного поля чи контакту з електродами.

Технічне рішення безелектродного методу автоматизованого вимірювання в'язкості біологічних рідин [5] здійснено шляхом конструкції вимірювального комплексу, що наведений на рис. 1 і 2.

Теоретичне та експериментальне обґрунтування нового методу дослідження в'язкості біологічних рідин. *Дослідження електролітів у стаціонарному режимі.*

На схемі комплексу (рис. 2) капілярний соленоїд із досліджуваним електролітом індуктивно зв'язаний із коливальним контуром, який відрегульований на резонанс. Для визначення струмів зв'язаних контурів складаємо рівняння Кірхгофа в комплексній формі [7]:

$$\dot{I}_{1m}\dot{Z}_1 + \dot{I}_{2m}\dot{Z}_{ce} = E_m, \quad (1)$$

$$\dot{I}_{2m}\dot{Z}_2 + \dot{I}_{1m}\dot{Z}_{ce} = 0, \quad (2)$$

де \dot{I}_{1m} та \dot{I}_{2m} – комплексні амплітуди струмів контуру $- L_1 C_1$ та контуру капілярного соленоїда $- L_2 C_2$; $\dot{Z}_1 = r_1 + jx_1$ та $\dot{Z}_2 = r_2 + jx_2$ – опори відповідних контурів. Тут j – уявна одиниця; r_1 та r_2 , x_1 та x_2 – відповідно активні та реактивні опори контурів; $\dot{Z}_{ce} = j\omega M$ – опір зв'язку; $\omega = 2\pi f$ – циклічна частота; M – коефіцієнт взаємоіндукції; E_m – амплітуди джерел е. р. с.

Визначивши \dot{I}_{2m} за (2):

$$\dot{I}_{2m} = -\dot{I}_{1m} \frac{\dot{Z}_{ce}}{\dot{Z}_2} \quad (3)$$

та підставивши (3) в (1), одержимо:

$$\dot{I}_{1m} = -\frac{\dot{E}_m}{\dot{Z}_1 - \dot{Z}_{ce}^2 / \dot{Z}_2}. \quad (4)$$

Із (4) випливає, що струм у первинному контурі зумовлений не лише параметрами джерела е. р. с. і самого контуру, а залежить також від параметрів вторинного контуру (опір рідини в капілярному соленоїді).

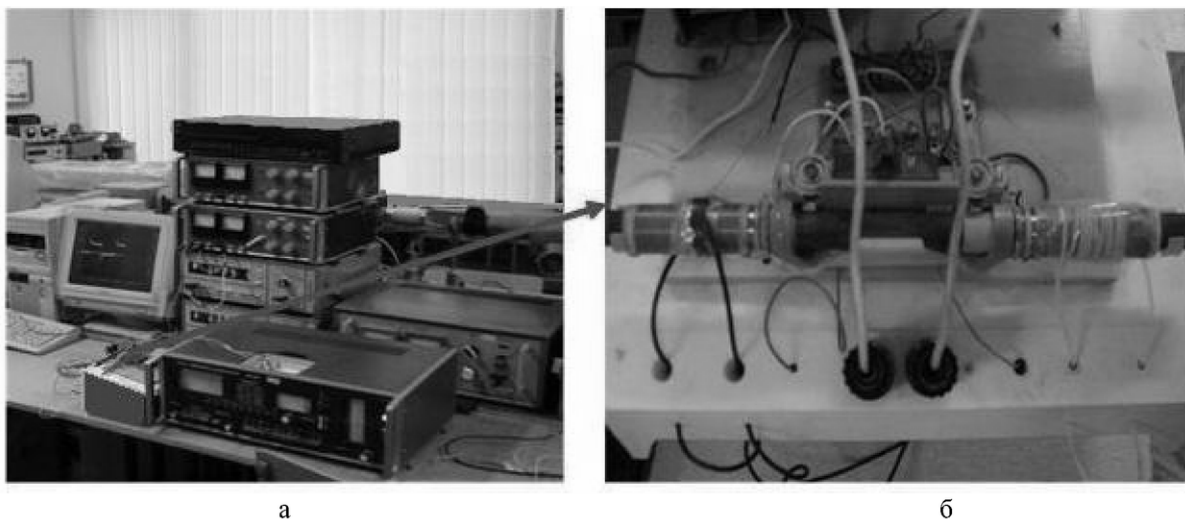


Рис. 1. Вимірювальний комплекс для визначення в'язкості крові (а); капілярний соленоїд індуктивно зв'язаний із коливальним контуром вимірювача добrotності (б)

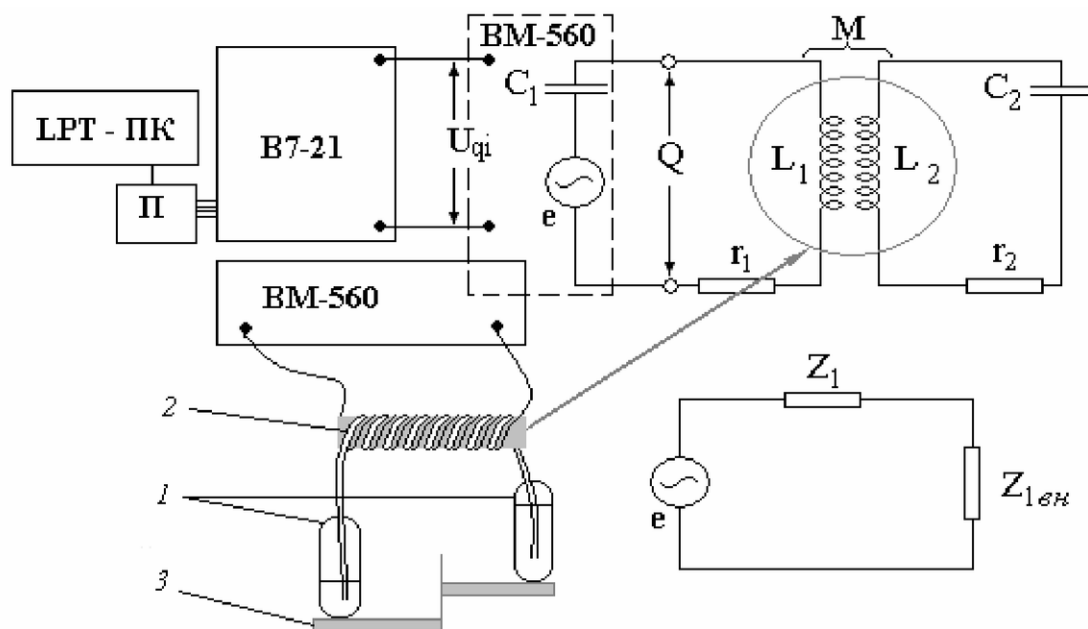


Рис. 2. Електрична та еквівалентна схема зв'язаних контурів

Примітка. 1 – капсули з досліджуваними рідинами; 2 – капілярний соленоїд; 3 – мікрометричний регулятор рівня капсул. В7-21 – цифровий вольтамперметр; ПМ-560 – вимірювач добrotності; C₁ та C₂ – ємність першого і другого коливальних контурів; L₁ та L₂ – індуктивність контурів; Q – добrotність еквівалентного контуру; U_{qi} – напруга, зумовлена добrotністю (напруга на виході приладу ВМ-560); М – коефіцієнт взаємодії; r₁ і r₂ – активний опір контурів; е – амплітуда джерела е. р. с. . Z₁ і Z_{1_{ен}} – власний та внесений комплексні опори еквівалентної схеми

Взаємоз'язок між контурами зумовлює відмінність комплексного опору первинного контуру від Z₁. Подавши повний опір первинного зв'язаного контуру еквівалентним опором Z_{1_{ен}}, що складається із власного Z₁ та внесеного Z_{1_{ен}} опорів:

$$\dot{Z}_{1e} = \dot{Z}_1 + \dot{Z}_{1en}, \quad (5)$$

одержимо відповідно до (4):

$$\dot{Z}_{1en} = -\frac{\dot{Z}_{2e}}{\dot{Z}_2}. \quad (6)$$

Закон Ома для первинного зв'язаного контуру можна записати відповідно до (4) та (5) у вигляді:

$$\dot{I}_{1m} = \frac{\dot{E}_m}{\dot{Z}_{1e}}. \quad (7)$$

Це дозволяє замінити систему двох зв'язаних контурів одним еквівалентним контуром (рис. 2) [7].

Відповідно до (6), внесений опір $\dot{Z}_{\text{ен}}$ запишемо у вигляді:

$$\dot{Z}_{\text{ен}} = r_{\text{ен}} + jx_{\text{ен}}, \quad (8)$$

тоді активна $r_{\text{ен}}$ та реактивна $x_{\text{ен}}$ складові внесених опорів матимуть вигляд:

$$r_{\text{ен}} = \frac{(\omega M)^2}{\dot{Z}_2^2} r_2, \quad (9)$$

$$x_{\text{ен}} = -\frac{(\omega M)^2}{\dot{Z}_2^2} x_2. \quad (10)$$

Еквівалентний опір \dot{Z}_{1e} первинного контуру має дійсну та уявну складові:

$$\dot{Z}_{1e} = r_{1e} + jx_{1e}, \quad (11)$$

де

$$r_{1e} = r_1 + r_{1\text{ен}} \quad (12)$$

$$x_{1e} = x_1 + x_{1\text{ен}}. \quad (13)$$

Як виходить із (10) та (13) вплив вторинного контуру призводить до зміни реактивної складової опору первинного контуру, а реактивна складова внесеної опору (10) може бути як позитивною, так і негативною, при цьому її знак є протилежним до реактивної складової вторинного контуру [7].

Із (9) та (11) виходить, що реакція вторинного контуру на первинний призводить до ефективного зростання його активного опору, тобто, до зменшення його добротності. Це означає, що частина енергії джерела забирається вторинним контуром (електролітом).

Добротність Q та хвильовий опір ρ з паріжними параметрами коливального контуру:

$$Q = \frac{\omega_0 L_1}{r} = \frac{1}{\omega_0 C_1} = \frac{\rho}{r}, \quad (14)$$

$$\rho = \omega_0 L_1 = \frac{1}{\omega_0 C_1} = \sqrt{\frac{L_1}{C_1}}. \quad (15)$$

Напруги на ємності та індуктивності за резонансу чисельно однакові та протилежні за знаком, тому вони взаємно компенсиуються, внаслідок чого напруга на активному опорі стає рівною до е. р. с. джерела:

$$U_{\text{Lom}} = U_{\text{com}} = Q E_m; U_{\text{rom}} = E_m. \quad (16)$$

Тут абсолютні значення напруги на ємності та індуктивності перевищують значення е. р. с. у Q разів.

Вимірюючи добротність пристрою при незадовільному капілярному соленоїді та враховуючи, що відповідає до (12–13):

$$Q_1 = \frac{x_1}{r_1}, \quad (17)$$

а хвильовий опір:

$$\rho_1 = x_1 = \omega_0 L_1 = \frac{1}{\omega_0 C_1} = \sqrt{\frac{L_1}{C_1}}, \quad (18)$$

налагодили вимірювач добротності BM-560 на резонансну частоту $f_0 = \frac{\omega_0}{2\pi}$, регулюючи ємність C_1 коливального контуру.

Слід зауважити, що наведені вище доказиґнтовані на тривіальних трактуваннях. Подальший теоретичний аналіз та експеримент пов'язані з новизною технічних рішень методів – використання соленоїда зі змінним вмістом, реєстрація швидкості течії досліджуваних електролітів тощо.

Після заповнення капілярного соленоїда рідиною, що має електричний опір r_2 , спостерігається зниження добротності еквівалентного коливального контуру $Q_2 = Q(r_2)$ зі зміною його хвильового опору $\rho_2 = \rho(r_2)$:

$$Q(r_2) = \frac{x_1 + x_{1\text{ен}}}{r_1 + r_{1\text{ен}}}; \rho(r_2) = x_1 + x_{1\text{ен}} = \frac{1}{\omega_0 C_2}. \quad (19)$$

Це підтверджувалося експериментально за умови $x_1 \gg x_{1\text{ен}}$ та $r_2 \gg x_2$. Тоді

$$\frac{1}{Q(r_2)} = \frac{1}{Q} + \frac{r_{1\text{ен}}}{x_1} = \frac{1}{Q} + \frac{\omega M^2}{L_1} \cdot \frac{1}{r_2}, \quad (20)$$

питома електропровідність рідини σ матиме вигляд:

$$\sigma = \frac{l_k}{r_2 S} = \frac{l_k}{S} \left(\frac{1}{Q(r_2)} - \frac{1}{Q} \right) \frac{L_1}{\omega M^2} = \frac{l_k}{S} \left(\frac{1}{Q(r_2)} - \frac{1}{Q} \right) K_1, \quad (21)$$

де K_1 – калібрувальна постійна установки, яку визначають експериментально за $Q(r_2)$ для ряду сталонних рідин із відомою питомою електропровідністю при її вимірюванні без електродів, або вимірюючи опір r_2 рідин у капілярі, помістивши електроди в капсули (рис. 2).

На рис. 3а наведені результати досліджень електролітів у капілярному соленоїді. Визначена залежність добротності коливального контуру (Q) від відносних одиницях від частоти (f) у кГц.

Так, перший максимум (1) спостерігався при незаповненому капілярному соленоїді, другий (2) – при його заповненні дистильованою водою, третій (3) – при заповненні плазмою крові людини і четвертий (4) – при заповненні 0,9% розчином $NaCl$.

Дистильована вода (досліджувалася як слабкий електроліт) одержана на установці ДЕ-4-2М (ГУ 64-1-721-91).

Спостерігається лінійна залежність між зворотною добротністю $\frac{1}{Q(r_2)}$ коливального контуру та питомою електропровідністю електролітів σ , що значно спростило калібрування установки (рис. 3б).

Дослідження електролітів у рухомому режимі

Одним із завдань вимірювального комплексу є безперервне вимірювання опору r_2 рідини в капілярі [8] за її течії зі швидкістю v_k . Для цього необхідно використовувати рідини з різними значеннями питомої електропровідності σ_1 та σ_2 . При надходженні до капіляру рідини з електропровідністю σ_2 , заповненого рідиною з електропровідністю σ_1 , спостерігається рух межі рідин із різними значеннями електропровідності. При цьому опір r_2 у капілярі безперервно змінювався (рис. 4).

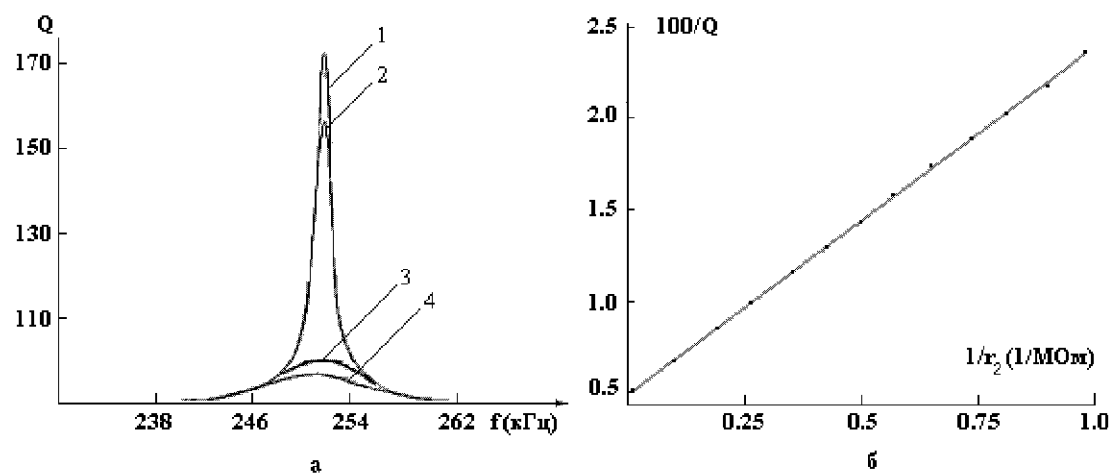


Рис. 3а. Залежність добротності (Q) коливального контуру, індуктивно зв'язаного з капілярним соленоїдом, від концентрації електролітів у ньому за резонансної частоти (f , кГц): 1 – при незаповненому капілярному соленоїді; 2 – при заповненні соленоїда дистиллятом; 3 – при заповненні плазмою крові людини O(I) групи; 4 – при заповненні 0.9% розчином NaCl

Рис. 3б. Залежність зворотної добротності ($100/Q$) коливального контуру від електропровідності ($1/r_2$) відповідних рідин

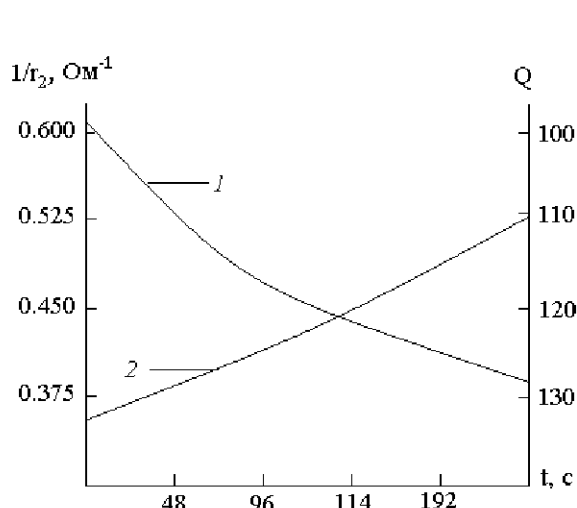


Рис. 4. Залежність електропровідності ($1/r_2 = I(t)/U$) в Ω^{-1} та добротності коливального контуру (Q) у відносних одиницях від часу (t) руху межі досліджуваного електроліту та дистильованої води в капілярі за реєстрації вказаних параметрів із використанням електродів (1) та без них (2)

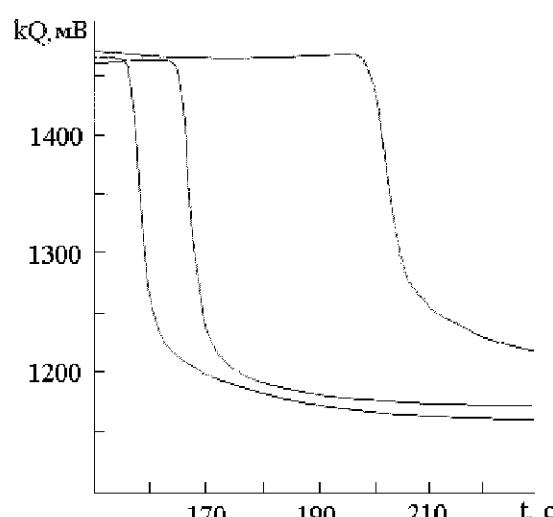


Рис. 5. Реєстрація фронту добротності коливального контуру за течії плазми різних груп крові

Таблиця

Результати дослідження в'язкості біологічних рідин донорів різних груп крові ($M \pm m$)

Групи крові	Кров		Плазма крові	
	$M \pm m$ (мПа·с)	P	$M \pm m$ (мПа·с)	P
O(I)	$5,88 \pm 0,16$		$1,14 \pm 0,03$	
A(II)	$4,53 \pm 0,22$	$P < 0,01$	$1,13 \pm 0,02$	$P > 0,05$
B(III)	$3,68 \pm 0,10$	$P < 0,01$	$1,66 \pm 0,04$	$P < 0,001$
AB(IV)	$4,80 \pm 0,21$	$P < 0,01$	$1,39 \pm 0,03$	$P < 0,01$

Як наслідок змінювалася добротність коливального контуру $Q(r_2)$, що індуктивно зв'язаний із капіляром, відповідно до формули (21). На рис. 4 наведені графіки залежності електропровідності I/r_2 в Om^{-1} та добротності коливального контуру (Q) у відносинах одиницях від часу течії (t) у секундах. Крива (1) є результатом вимірювання струму при фіксованій напрузі. Крива (2) є наслідком вимірювання добротності. Струм I пропорційний електропровідності σ рідини в капілярі, а добротність Q обернено пропорційна електропровідності I/r_2 досліджуваної рідини, що доведено теоретично відповідно до (21).

Кінці капіляра занурювали в капсули з еталонною рідиною та досліджуваним електролітом за наявності перепаду тиску Δp (використовувався пристрій для регулювання рівня рідин у капсулах), що зумовлювало рух межі досліджуваних рідин уздовж капіляра зі швидкістю v_k , що залежить від в'язкості досліджуваних рідин. Оскільки діаметр капіляра дуже малий ($d=1 \text{ mm}$), можна знехтувати змінуванням рідини. Тоді омічний опір r_2 у капілярі в момент часу t_0 становитиме:

$$r_2 = \frac{l_1}{\sigma_1 S} + \frac{l_2}{\sigma_2 S}, \quad (22)$$

де S – переріз капіляра; σ_1 та σ_2 – питомі електропровідності дистильованої води та розчину; l_1 та l_2 – довжини частин капіляра, заповненого відповідно дистиллятом та розчином, при цьому: $l_k = l_1 + l_2$.

Підставивши l_1 у формулу для визначення омічного опору (22), одержимо:

$$r_2 = \frac{l_2}{\sigma_1 S} + \frac{l_2 - l_1}{\sigma_2 S} = \left(\frac{1}{\sigma_2} - \frac{1}{\sigma_1} \right) \frac{l_2}{S} + \frac{l_1}{\sigma_1 S}. \quad (23)$$

Важко, що при $t = 0$, довжина частини капіляра, що заповнений дистильованою водою становить l_1 , l_k , тоді (23) за умови $l_2(t) = v_k t$ (під час течії рідин у капілярі) r_2 можна подати таким чином:

$$r_2 = \left(\frac{1}{\sigma_2} - \frac{1}{\sigma_1} \right) \frac{v_k t}{S} + \frac{l_1}{\sigma_1 S}. \quad (24)$$

Тому швидкість течії досліджуваних рідин у капілярі можна вирахувати, використовуючи таку залежність:

$$r_2(t) = A \cdot v_k t - B, \quad (25)$$

де $A = \left(\frac{1}{\sigma_2} - \frac{1}{\sigma_1} \right) \frac{1}{S}$; $B = \frac{l_1}{\sigma_1 S}$, посередині ви-

значивши σ_1 та σ_2 – питому електропровідності дистильованої води і досліджуваної рідини, а також довжину капіляра l_k та його переріз S .

За течії рідин у капілярі, програмою визначалося значення ефективної швидкості за формулою:

$$v_k = \frac{1}{A} \operatorname{tg} \alpha, \quad (26)$$

де α – кут пахилу дотичної для залежності $r_2(t)$ до осі часу t .

Розрахунок в'язкості проводився з наступних міркувань. У вимірювальному комплексі швидкість течії рідини регулювалася з допомогою різниці тиску Δp ,

на його кінцях. Тоді для круглої циліндричної трубки рівняння Нав'є – Стокса матиме вигляд:

$$\frac{1}{r} \frac{d}{dr} (r \frac{dv}{dr}) = \frac{\Delta p}{\eta l_k}, \quad (27)$$

де η – динамічна в'язкість рідини; l_k – довжина трубки; $r = \sqrt{x^2 + y^2}$ – відстань до осі трубки (до відповідної точки перерізу), а розподіл швидкостей рідини за перерізом трубки можна подати як:

$$v(r) = \frac{\Delta p}{4\eta l_k} (R_k^2 - r^2). \quad (28)$$

Тоді секундна витрата об'єму рідини визначається за формулou Нузейля:

$$V_{\text{ек}} = \frac{\pi R_k^4}{8\eta l_k} \Delta p, \quad (29)$$

$$\text{де } V_{\text{ек}} = \int_r \rho v(r) dS = v_k S = \text{const}.$$

Визначивши зміну маси рідини в одному з об'ємів (у капсулі) за час t відповідно до рівняння:

$$m_{\text{ек}} = \int_r \rho v(r) dS = \text{const}, \quad (30)$$

можна вирахувати в'язкість досліджуваної рідини:

$$\eta = \frac{\pi R_k^4 \Delta p}{8l_k \left(\frac{m}{t} \right)} = K_2 \frac{\Delta p}{v_k}. \quad (31)$$

Отже, ефективну швидкість течії рідин у капілярі можна записати так:

$$v_k = K_2 \frac{\Delta p}{\eta}. \quad (32)$$

Визначивши ефективну швидкість v_k досліджуваних рідин у капілярі відповідно до формули (26) для рідин із відомим значенням в'язкості η і враховуючи різницю тиску на кінцях капіляра Δp , можна знайти константу K_2 для даного капіляра.

Надалі в'язкість досліджуваної рідини в цьому капілярі будемо визначати для фіксованих Δp , за формулою (31).

Для визначення в'язкості створена програма, що в ході експерименту виводить на дисплей залежності $I/r_2(t)$ та $Q(t)$ – рис. 4. За ними визначається швидкість течії рідини в капілярному соленоїді двома способами – без електродів (шляхом вимірювання Q) і контактним (вимірювання $I/r_2 = I(t)/U$ приєднанням електродів із метою калібрування вимірювального комплексу).

Методика вимірювання в'язкості біологічних рідин (крові). В умовах стабільної температури (16°C) заповнюють капілярний соленоїд (*тефлон Ф-ЧДЕ, ООО „Аніон-Слб“*) еталонною рідиною (0.9% розчином *NaCl*, в'язкість якого становить $\eta = 1.022 \text{ мПа}\cdot\text{s}$). Програма вираховує питому електропровідність σ_0 . Далі, після промивання капіляра дистильованою водою, заповнюють його дистиллятом (програма вираховує σ_1). Один із кінців капіляра поміщають у капсулу з 0.9% розчином *NaCl* і встановлюють на кінцях капіляра різницю тиску Δp , значення якої заносять до програми.

На екрані дисплея спостерігається залежність $r_2(t)$ унаслідок руху мжі рідин із різними σ_0 та σ_1 вздовж капіляра. Програма вираховує відповідно до формули (26) швидкість руху в капілярі й за формулою (32) визначає калібрувальну постійну K_2 , яку вносить до пам'яті комп'ютера. Далі розрахунок в'язкості досліджуваної рідини проводиться за формулою (33).

Замінивши капсулу з еталонною рідиною на капсулу, наприклад, з плазмою крові, встановлюємо мікрометром її рівень - Δh (цей параметр $\Delta h = 2.50$ см, а також рівняння $p = \rho gh$, попередньо уводять до програми). Програма вираховує константу установки ($K_2 = 0.095 \text{ ml} \cdot \text{c}^2$). Слід зазначити, що тут використовується перевірений множник (k) вимірювача добротності BM-560, необхідний для більш точного вимірювання добротності (в мВ) з допомогою додаткового цифрового вольтметра (рис. 1).

Тобто, після налагодження вимірювального комплексу серійні дослідження в'язкості різних біологічних рідин потребують лише визначення їх густини з допомогою зважування їх відомого об'єму і внесення цього параметра до програми. На дисплей спостерігають рух фронту зміни добротності, що залежить від часу течії, наприклад, плазми крові (рис. 5). Миттєво цифрові значення в'язкості обчислюються програмою і разом з іншими показниками з'являються поряд із графіком.

Результати досліджень та їх обговорення. Досліджувалася кров донорів, що відрізнялися групами крові (число варіант у кожній групі – 7). Відбір донорів проводився з виключенням відомих і вірогідних відмінних ознак, що здатні вплинути на в'язкість крові. Для статистичного аналізу експериментальних даних використали програму MS Office - процесор електронних таблиць MS Excel 2003. Тут наведена достовірність відмінності (Р) групи 0(I) з кожною із наступних (табл.).

Таким чином, вперше виявлені генетичні відмінності в'язкості крові і плазми людини. Похибка методу в дублікатах проб не перевищує 1%.

Слід зауважити, що одержані дані відрізняються від аналогів [2], де стверджується типове збільшення в'язкості крові при астмі. Із допомогою викладеного тут методу встановлено, що в'язкості крові при цьому захворюванні притаманна інтенсивна динаміка, що є наслідком адаптивних реакцій організму [9].

Висновки

- Доведена необхідність усунення електростатичного зчеплення крові з контактуючою оболонкою при вимірюванні в'язкості. Загалом технічне рішення даного методу спрямоване на усунення фізичних факторів (форсовані фізичні дії, контакт із електро-

дами тощо), здатних викликати деструкцію біологічного сліктороліту, а отже, зміну його нативних властивостей.

2. Існуючі нині методи визначення в'язкості рідин враховують наслідок їх взаємодії з матеріалом контактуючої оболонки, що, власне, не завжди є зауванням дослідження.

Перспективи подальших досліджень. Висока роздільна здатність і зручність апробованого методу є передумовою широкого використання аналізу в'язкості біологічних рідин у ранній діагностиці, прогнозі захворювань, контролі ефективності лікування, у фармації.

Література

- Евдокимов И.Н. Молекулярные механизмы вязкости жидкости и газа / И.Н. Евдокимов, Н.Ю. Елиссев. Часть I. Основные понятия. – М.: РГУ нефти и газа имени И.М.Губкина, 2005. – 59 с.
- Гуменюк Н.И. Реологические свойства крови у больных с хроническим легочным сердцем / Н.И.Гуменюк, Е.А.Ломтева // Укр. пульмонол. ж. – 2004. – № 4. – С. 60-61.
- Шаплавський М.В. Біоінертизація як біологічна функція / М.В.Шаплавський. – Чернівці: Прут, 1996. – 184 с.
- Параходки гемодинаміки у світлі теорії біоінертизації / М.В.Шаплавський, В.П.Пішак, М.Ю.Коломоець [та ін.] // Бук. мед. вісник. – 2007. – Т. 11, № 1. – С. – 148-150.
- Патент на корисну модель UA 35766. МПК A61B 5/00. Безелектродний спосіб автоматизованого вимірювання в'язкості біологічних рідин / М.В.Шаплавський, В.П.Пішак, О.В.Слободян, П.М.Григоришин: заявник та патентовласник БДМУ. – № 200802926; заявл. 06.03.2008; опубл. 10.10.2008. Бюл. № 19.
- Патент на корисну модель UA 36976. МПК G01N 27/06. Безелектродний спосіб автоматизованого вимірювання питомого опору електролітів та біо-олігічних рідин / М.В.Шаплавський, В.П.Пішак, М.Ю.Коломоець, О.В.Слободян та ін.: заявник та патентовласник БДМУ. – № 200807872; заявл. 10.06.2008; опубл. 10.11.2008. Бюл. № 21.
- Ранський Є.Г. Радіотехніка / Є.Г.Ранський, Є.Й.Фіалко. – К.: Вища школа, 1969. – 335 с.
- Слободян О.В. Дослідження питомого опору електролітів та біологічних рідин безелектродним методом / О.В.Слободян: матеріали IV Miedzynarodno-wej naukowi-praktycznej konferencji [“Nauka i innowacja – 2008”]. – Przemysl: Nauka i studia. – 2008. – Т. 11. – С. 24-29.
- Електрофізичний метод визначення в'язкості крові в аналізі змін мікроциркуляції / В.В.Буждиган, О.В.Слободян, М.В.Шаплавський, О.Ю.Микитюк: матеріали за IV Міжнародна научно-практическая конференция [“Образование и наука на 21 век – 2008”]. – Софія: БялГРАД-БГ. – 2008. – Т. 9. – С. 24-29.

**ИЗМЕРИТЕЛЬНЫЙ КОМПЛЕКС ДЛЯ ОПРЕДЕЛЕНИЯ ВЯЗКОСТИ
БИОЛОГИЧЕСКИХ ЖИДКОСТЕЙ**

O.V.Гуцул, V.V.Буждиган, N.V.Шаплавский, P.M.Григоришин

Резюме. Теоретически и экспериментально обоснован новый метод автоматизированного измерения вязкости биологических жидкостей (крови), основанный на регистрации показателей добротности в биоинертном капилляре.

Ключевые слова: метод анализа, вязкость, кровь.

THE MEASURING COMPLEX FOR THE VISCOSITY TEST OF THE BIOLOGICAL LIQUIDS

O.V.Gutsul, V.V.Buzhdigyan, N.V.Shaplav's'kyi, P.M.Grygoryschyn

Abstract. A new method of an automatized measurement of the viscosity of the biological liquids (of the blood) is theoretically and experimentally substantiated, based on a registration of indices of a good quality in a bioinert capillary.

Key words: analysis method, viscosity, blood.

Bukovinian State Medical University (Chernivtsi)

Buk. Med. Herald. – 2010. – Vol. 14, №3 (55). – P.158-164.

Рецензент – проф. В. Ф. Мислицький

Надійшла до редакції 25.05.2010 р.

© О.В. Гуцул, В.В. Буждиган, М.В. Шаплавський, П.М. Григоришин, 2010